

تأثير دائرة الشحن على تشغيل منظومة لیزر ثانی أوكسید الكاربون النبضي ذي التهيج المستعرض والضغط الجوي

د. عدوية جمعة* / د. وليد خلف حمودي* / د. فالح حسن حمزة*

*قسم العلوم التطبيقية / الجامعة التكنولوجية

٢٠٠٢/٣/٢٥ تاريخ التسلّم:

٢٠٠٥/٥/١٥ تاريخ القبول:

الخلاصة :

في هذا البحث جرت دراسة تأثير نوع وشكل دائرة الشحن الكهربائي على تشغيل وأداء منظومة لیزر ثانی أوكسید الكاربون النبضي ذي التهيج المستعرض والضغط الجوي . كذلك فقد جرى تقييم تحليلاً للدائرة الكهربائية المستخدمة وأوضحت النتائج المستحصلة امكانية الحصول على اعظم كفاءة لتحويل الطاقة الكهربائية الى طاقة لیزر خارجة بستخدام دائرة الشحن ذات المسعة المفردة . لقد تم تحديد خصائص دائرة الشحن وتتأثیرها على أداء منظومة الليزر من خلال قياسات فرق جهد - تيار وحساب معلمات الدائرة الكهربائية وبالتالي تحديد كفاءة شحن الدائرة التي بلغت ٧٠٪.

The Effect Of Charging Circuit In The Operation Of TEA-CO₂ Laser System.

Abstract:

In this search , the effect of type and configuration of electrical charging circuit on the operating and performance of a pulsed TEA-CO₂ laser sysstem were investigated . An analysis of electrical circuit used was presented and the results obtained indicated the possibility of operation with high conversion efficiency of electrical laser energy using a single-capacitor charging circuit. The characteristics of the charging circuit and its effect on laser system performance were introduced through voltage-current measurements. The parameters of electrical circuit were determined and charging efficiency of 70% was deduced.

المقدمة :

يتحدّد تصميم منظومة الليزر بأجل الحصول على ضوء الليزري وتباعاً لطاقة وعرض نبضة الليزر المنبعثة ، كما أن هناك العديد من العوامل التي يجب أن

تؤخذ بنظر الاعتبار عند تصميم منظومة الليزر لأجل الحصول على ضوء الليزري وتباعاً لطاقة وعرض نبضة الليزر المنبعثة ، كما أن هناك العديد من العوامل التي يجب أن

* قسم العلوم التطبيقية / الجامعة التكنولوجية

المباشر عن طريق انتقال الطاقة الرئيسي بين جزيئات N_2 إلى جزيئات CO_2 وهذا الأمر يتطلب امرار تيار عالي الشدة (تجاوز الالاف الامبيرات) خلال فترات زمنية قصيرة جداً تقل عن المايكروثانية (ms) عند قيم عالية جداً لفرق الجهد (العديد من الكيلو فولتات) (KV) [2]، يستدعي هذا الأمر تقليل الحث الكهربائي إلى أقل ما يمكن لضخ جزيئات الغاز والحصول على زمن نهوض تيار قصير وبالتالي تيار نبضي عالي يضمن حصول التوزيع المعكوس ، أي ان

$$\frac{dI}{dt} = -\frac{1}{L} \frac{dV}{dt} = \frac{V_o - V_d}{L} \quad (1)$$

اذ تمثل dI/dt المعدل الزمني لتغير التيار من 10% إلى 90% من قيمته العظمى و(V_d) تمثل الفولتية المطلقة على الأقطاب الرئيسية و(V_o) الفولتية الرئيسية (المصدر)، و(L) هي حثية الدائرة الكهربائية .

هذا أربعه أنواع شائعة الأستخدام من مولدات النبضة المستخدمة لتهيج ليزرات CO_2 النبضية ولكل نوع مواصفات معينة تؤثر في خصائص نبضة التيار والفولتية ومقدار الطاقة الداخلة (المخزونة)، وهيئة الخرج الليزري يتم استخدام نفس دائرة الشحن الكهربائية لأقطاب التفريغ الرئيسي والثانوي معاً في الأنواع الأربع وكما يأتي [3]:

التفريغ المنظومة الليزر الغازي علاقة وثيقة بانتظامية التفريغ الكهربائي على طول الأقطاب الرئيسية المسماة أقطاب المجال المنظم (Uniform Field Electrodes).

يؤخذ بنظر الاعتبار قصر نبضة تيار التفريغ الكهربائي التي تكون أقصر من زمن تكون الأقواس الكهربائية باللغة sec (10^{-3}) [1]. كذلك فإن اختيار تصميم المؤين الأولى (Preionizer) ، ونوعه الفاصلة الزمنية بينه وبين التفريغ الرئيسي هي أمور يستوجبأخذها بنظر الاعتبار وبشكل دقيق.

أن الأخيار الموفق للعامل سالفة الذكر يؤدي إلى امكانية التحكم بكفاءة تحويل الطاقة الكهربائية المخزونة بالمسعات إلى التفريغ التوهجي اللازم لتحقيق التوزيع المعكوس في ليزر CO_2 وهذا يعتمد بشكل أساسي على نسبة المجال الكهربائي إلى الكثافة الإلكترونية (E/N) والتي تتغير تبعاً لنوع الدائرة الكهربائية المستخدمة وتعدّ الخصائص الكهروكيمياوية للخلط الغازي من العوامل المؤثرة على خصائص نقل الطاقة الالزامية للتهيج في منظومات الليزر الغازية [2] .

يتم نقل الطاقة من مسعات الخزن (مسعات الشحن) إلى التفريغ التوهجي (التفريغ الرئيسي) عادة باستخدام دائرة شحن خرجية . وهي ذات أهمية كبيرة لأن عملية ضخ وتهيج جزيئات ثنائية أوكسيد الكاربون تتم اما بالتصادم المباشر مع الألكترونات او بالتصادم غير

سمكها 3mm وقطر كل من المراتين 50mm والمسافة بينهما 200mm.

كانت الأقطاب المستخدمة في حجرة التفريغ لهذه المنظومة من نوع (4th-order Ernst Profile) قيمة ($K_e = 0.02$) وهو متغير يمثل النسبة ما بين المسافة مرتين الأقطاب وعرض القطب (Aspect Ratio) كان المقطع العرضي للأقطاب mm (20x160) والمسافة بين القطبين (6mm)، أما أقطاب التأين الأولى فهي عبارة عن خمسة أزواج من الأوتاد المسننة من الأعلى ومكورة من الأسفل بطول (15mm) وقطر (3mm)، وتم ترتيبها على جانبين الأقطاب الرئيسية . جرى استخدام خلط غازات بالنسب (8CO₂:8N₂:82He:2CO) وتسم تشغيل المنظومة عند الضغط الجوي الأعتيادي (1atm).

استخدمت دائرة انتقال الشحنة (دائرة التفريغ المباشر) المبينة في الشكل (1a) لتوليد النبضات اللازمة للضخ لما تمثّل به هذه الدائرة من سرعة التفريغ والحيثية القليلة وأحوائهما على متسعة منفردة ذات حد قليل. تمت السيطرة على فتح وغلق دائرة الشحن باستخدام مفتاح كهربائي لفولتيات العالية مؤلف من فجوة القدر ثلاثة الأقطاب (3-Electrode

[6] (Spark Gap). عند تشغيل مجهز القدرة يتم شحن متسعة الخزن الرئيسية ($C_s = 6nF$) إلى فولتيات المصدر ($V_0 = 10KV$) عند غلق فجوة القدر تفرغ المتسعة

أ- دائرة التفريغ المباشر (دائرة انتقال الشحنة) وأحياناً تسمى دائرة الشحن ذات المتسعة المفردة Single Capacitor Discharge (Circuion) والموضحة في الشكل (1a).

ب- دائرة LC المعاكسة (Inversion) : هنا تم ربط أقطاب التأين الأولى على التوالي مع التفريغ الرئيسي ، وكما موضح في الشكل (1b) .

ج- هنا يتم استبدال حثية الملف (L) بالدائرة من النوع الثاني بحثية أقطاب التأين الأولى لتقليل الحثية ، وكما موضح في الشكل (1c) .

د- دائرة مولد ماركس (Marx Generator) لمضاعفة الفولتيات إلى قيم عالية ، وكما موضح في الشكل (4,5)[1d]

الجزء العلمي :

تم تصنيع حجرة الليزر من مادة البريسكين بقطر خاصي (100mm) وقطر داخلي (60mm) وبطول (200mm) وتحتوي على فتحات رئيسية لدخول وخروج الغاز وفتحات أخرى للتوصيلات الكهربائية للفولتيات العالية والقطب الأرضي .

يتكون المرايا البصرية المستخدم في منظومة ليزر CO₂ في هذا البحث من مراتين متوازيتين احدهما عاكسة كلية (100%) مصنوعة من النحاس المطلي بالذهب سمكها 5mm، والأخرى عاكسة جزئياً (60%) مصنوعة من герمانيوم (Ge)

$$V_R = I * R \quad (3b)$$

$$V_C = \frac{1}{C} \int Idt \quad (3c)$$

وبتعويض تلك القيم واجراء التفاضل للخلاص من حد التكامل فلن :

$$\frac{d^2I}{dt^2} + \left(\frac{L}{R} \right) \left(\frac{dI}{dt} \right) + \frac{I}{LC} = 0 \quad (4)$$

المعادلة (4) تمثل علاقة خطية متGANSAة من الدرجة الثانية وحلها العام يأخذ الصيغة الآتية :

$$I = K_1 e^{\lambda_1 t} + K_2 e^{\lambda_2 t} \quad (5)$$

اذ أن K_1 و K_2 ثوابت يمكن ايجاد اقيامها من الشروط الحدودية (Boundary Conditions) وتأخذ λ_1 و λ_2 التي تأخذ القيم

$$\lambda_1 = -R/2L - \sqrt{\left(R_2 / 4L_2 \right)}^{1/2} - \left(1/LC \right)$$

$$\lambda_1 = -\alpha - \omega \quad (6a)$$

$$\lambda_2 = -R/2L + \sqrt{\left(R_2 / 4L_2 \right)}^{1/2} - \left(1/LC \right)$$

$$\lambda_2 = -\alpha + \omega \quad (6b)$$

(C_s) شحنته بمتسعات التأين الأولى الصغيرة (C_i=7pF). بصورة متعاكبة (متالية) وعندما تبدأ الأنهرارات المتعاكبة والسريعة من الأوتاد ابتداء من الوتد الأول حتى الوتد الأخير المرتبط بالقطب الرئيسي ويتم التفریغ الرئيسي كما موضح بالدائرة الكهربائية المبينة بالشكل (2).

تم التأكد من قيمة فرق الجهد المسلط على المتّسعة وعلى الأقطاب الرئيسية باستخدام مجس الفولتيّة العالية (وكانت الفولتيّة المقاسة على الأقطاب الرئيسية (4KV) تقريبا وهي أقل من نصف قيمة الفولتيّة الأصلية (V_o).

يُقاس التيار المار بالمنظومة باستخدام مقاومة ذات حثّة واطنة (R-shunt) والممسّمة (CVR) (Viewing Resistor Current) [7] قيمتها قليلة جداً ترتبط على التوالي مع المنظومة بقطبيها الأرضي أو باستخدام ملف روغوفסקי [8].

تحليل الدائرة الكهربائية (خصائص فرق جهد - تيار)

يمكن التعبير عن فرroc الجهد المتولدة لحظة غلق دائرة التفریغ الرئيسي (RLC) بالمعادلة (2)[9]

وكما موضح بالشكل (2) :-

$V_o = V_L + V_R + V_c$ (2)
تعطى قيم الفولتيّة لكل مركبة كما يلي:

$$V_L = L \frac{dI}{dt} \quad (3a)$$

يمثل I_m أول قيمة لنبضة التذبذب (الشكل (3)) و I قيمة النبضة اللاحقة، وبتطبيق المعادلة (8) أمكن حساب قيمة α .

من الشكل (3) كانت $t=100\text{nsec}$ و $\alpha = 2.2 * 100^6 \text{Hz}^2$ ، أما قيمة ω فتساوي (6.28Hz) ، وبأخذ مشتقة المعادلة (7) ومساواتها بالصفر كانت أعظم قيمة للتيار I_m مساوية إلى:

$$I_m = (V_o / \omega L) \exp[(-R\pi) / (4L\omega)] \quad (12)$$

ويمكن كتابتها بشكل آخر

$$I_m = (V_o / \omega L) \exp[(-\alpha\pi) / (2\omega)] \quad (13)$$

ومنها تم استخراج قيمة L كما يلي :-

$$L = (V_o / \omega I_m) \exp[(-\alpha\pi) / (2\omega)] \quad (14)$$

بتعمير قيم ω و I_m من الشكل (3) تم ايجاد قيمة L مساوية إلى $(0.05\mu\text{H})$ عند حد .

$(V_o=10\text{kV})$ تم احتساب قيمة R من المعادلة (8) وهي (0.3) ومن المعادلة (10)

$$\text{تم احتساب قيمة كل من } C \text{ و } \omega^2 \text{ كـ: } \omega^2 = (1/LC) - \alpha^2 \quad C = 1/[L(\omega^2 + \alpha^2)] \quad (15)$$

من المعادلة (15) يمكن ايجاد قيمة المتسعة نظرياً اذ تساوي $(C=5\text{nF})$ وهي اقل من القيمة المختارة عملياً (6nF)

ان هذا الانخفاض طبيعي لأن شحن المتسعة لا يصل الى قيمة الفولتية

اذ ان (α) يمثل معامل الخسارة (Damping Factor) و (ω) معامل التذبذب الطبيعي (Natural Oscillation Factor) وبالاعتماد على قيم λ_1 و λ_2 فان لدينا أربع حالات مبينة في الجدول (1).

ان ما يهمنا هو حالة التذبذب $R < 2^{1/2}$ (Oscillation Condition) (L/C) التي ظهرت لنا أثناء العمل ويتم قياس المعلمات الأساسية للدائرة أعلاه مع مراعاة أن الحشوة أقل مما يمكن باستخدام أسلاك ربط على شكل شرائط نحاسية بدلاً من أسلاك المحورية ، وتستخدم متساعات سيراميكيّة واطئة الحث .

في حالة التذبذب تحت التخميد ، يمكن التعبير عن التيار المار بدائرة (RIC) بالمعادلة الآتية بعد حل المعادلة (4)

$$I = I_m e^{-\alpha t} \sin(\omega t + \phi) \quad (7)$$

حيث ان I_m تمثل أعظم تيار مار بالدائرة (لاحظ الشكل (3))

$$I = (V_o / \omega L) e^{-\alpha t} \sin \omega t \quad (8)$$

$$\omega = [(1/LC) - (R/4L)^2]^{1/2} \quad (9)$$

$$R = 2\alpha L \quad (10)$$

من خلال شكل نبضة تذبذب التيار المستحصلة وفق المعادلات أعلاه ، تم حساب قيم R و C الفعلية للدائرة المبينة بالشكل (2) وكما الآتي :

تم حساب قيمة (α) (مقدار التناقص اللوغاريتمي لعامل الخسارة) ، من شكل التذبذب وبأخذ قمتين (I, I_m) لذبذب التيار لقمتين متاليتين وكما في المعادلة التالية:-

$$I = I_m e^{-\alpha t} \quad (11)$$

تفریغ سريع وحثیة قلیلة وبالتالي فان هذه الدائرة تمتلك اعظم كفاءة تحويل للطاقة الكهربائية الى قدرة خرج ليزري خارجة وتعمل عند طفقات خزن واطنة بينما في الدائرة (1c) تزداد الأقواس الكهربائية (Arcing) بسبب ربط أقطاب التأين الأولى على التوالي مع أقطاب التفریغ الرئيسي. أما الدائرتان (1b&1d) فتعداً الأفضل في حالة طفقات الخزن العالية ($E_g > 2J$) .

تم دراسة تأثير متعددة الذروة (C_p) المسؤولة عن استقرارية التفریغ الكهربائي على أداء ليزر CO_2 النبضي وجرى تغير قيمتها وقياس الطاقة الخارجة كدالة للطاقة الداخلة باعتماد ثلاثة هي (50,200,500PF) والشكل (5) يوضح تأثير متعددة الذروة على الطاقة الخارجة حيث جرى ربط متعددة الذروة (C_p) على التوازي مع الأقطاب الرئيسية .

تبين نتائج الدراسة زيادة الطاقة الخارجة مع زيادة فرق الجهد المسلط على المتعددة الرئيسية (C_s) اذ تكون العلاقة خطية تصاعدية حتى الوصول الى قيمة فرق جهد 10KV انخفضت الطاقة الخارجة بعدها بسبب التحول الى حالة التفریغ القوسی . يبين الشكل (5) أن استخدام متعددة الذروة بقيمة (200PF) ادى الى زيادة الطاقة الخارجية ، وعند زيادة قيمة متعددة الذروة فان الطاقة الخارجية تنخفض بسبب تغير ممانعة دائرة التفریغ وعدم حصول موافقة بين دائرتى الشحن والتفریغ وبالتالي نقصان

المسلطة بل أقل دائمًا أما قيمة المقاومة فإنها حاصل جمع المقاومات الفعلية وقيمتها العملية ناتجة عن مقاومة فجوة القدح الوسط البلازمي، علماً أن مقاومة المتعددة السيراميکية منخفضة جداً وليس لها تأثير في قيمة المقاومة الكلية ومقاومة (CVR) .

تنقسم الحثیة الى قسمين : الأول يعود الى الدائرة الكهربائية ويشمل فجوة القدح والمتسعدات السيراميکية واطنة الحثیة وحثیة أسلاك الربط ، أما القسم الثاني من الحثیة فيمثل الجزء الخاص بالمتعددة C_p (متعددة الذروة) والأقطاب الرئيسية وأسلاك ربطها . عند ربط متعددة الذروة على التوازي مع الأقطاب الرئيسية تم الحصول على النسبة الموضحة بالشكل (3) حيث يلاحظ عدم وجود تذبذب وكانت هذه نتائج الدائرة الأولى وباستخدام الأوتواد كأقطاب تأين أولى كانت كفاءة الشحن (70%) تم حسابها من المعادلة الآتية :-

$$\eta = \left(\frac{C_{\text{theoretical}}}{C_{\text{experimental}}} \right) \times 100\% \quad (16)$$

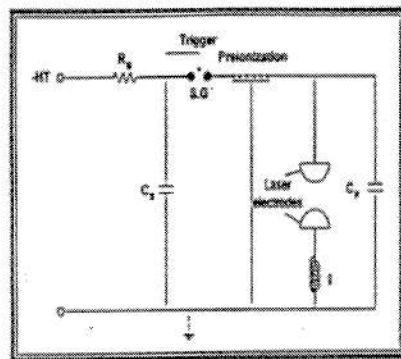
النتائج والمناقشة

لغرض تحديد كفاءة الشحن لكل من الأنواع الأربعية من دوائر الشحن الموضحة في الشكل (1) ، تم دراسة العلاقة بين مقدار الطاقة الخارجية والفولتية المسلطة باستخدام نفس الخلطة الغازية والتشغيل عند الضغط الجوي ، وكما مبين في الشكل (4) ونلاحظ أن الدائرة الأكثر كفاءة هي (1a) لما تمتاز به من

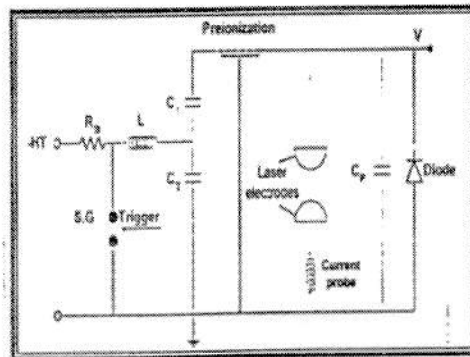
- كفاءة الطاقة العظمى من المتسعة
الرئيسية إلى أقطاب التفريغ
الكهربائى .
- الأستنتاجات**
- أن دائرة الشحن ذات المتسعة المفردة
(النوع الأول) هي الأفضل لتشغيل
ليزر CO₂ النبضي وتحويل الطاقة
الكهربائية إلى طاقة خرج ليزرى
مقارنة بالأنواع الأخرى شائعة
الاستخدام من دوائر الشحن اذ تكون
كفاءة التحويل لهذا النوع هي الأعلى
(70%) .
- تم الحصول على موافقة جيدة بين
دائرة التفريغ الرئيسى والشحن
باستخدام متسعة ذروة بقيمة 200PF ،
وان تغير قيمة المتسعة أو عدم
وجودها في الدائرة الكهربائية يؤدي
إلى حدوث التذبذب في شكل نبضة
التيار مما يعني أن لها تأثيراً كبيراً
على انتظام واستقرارية التفريغ
الكهربائي .
- المصادر**
1. D.S. Stark, P.H. Cross and H. Soster, IEEE J. Quantum Electron, vol. 11, 1975, p.774.
 2. W.J. Witteman, *The CO₂Lasers,*Springer-Verlag (Berlin), 1987

جدول (١) يبين حالات التثبيط في تبضة ثانية [٨]

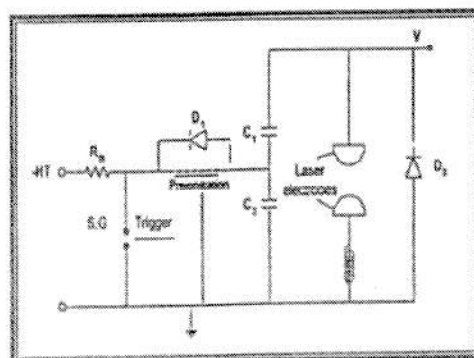
Cases	Name	(i.e.)	I_t	Wave-Shape
I	Laser Free Circuit $R=0$	Un-damped	$I_m \sin(\omega t - \phi)$	
II	Low Loss Circuit $(R_2/4L_2) < (1/LC)$	Under-damped	$I_m e^{-\alpha t} \sin(\omega t + \phi)$	
III	High Loss Circuit $(R_2/4L_2) > (1/LC)$ or $R > 2(L/C)^{1/2}$	Over-damped	$e^{-\alpha t} (A \cos \gamma t + B \sin \gamma t)$	
IV	Critical Damping $(R_2/4L_2) = (1/LC)$	Critical damping	$(K_1 + K_2)e^{-\alpha t}$	



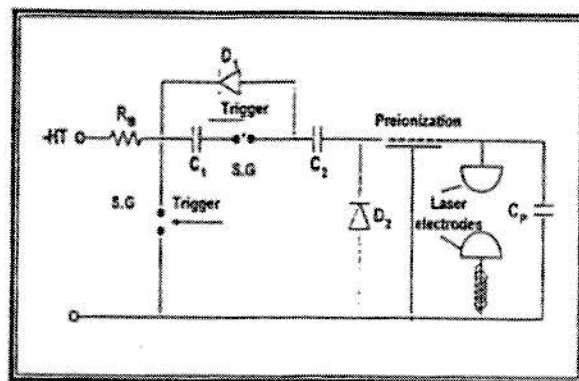
شكل (1a) دائرة انتقال الشحنة [3]



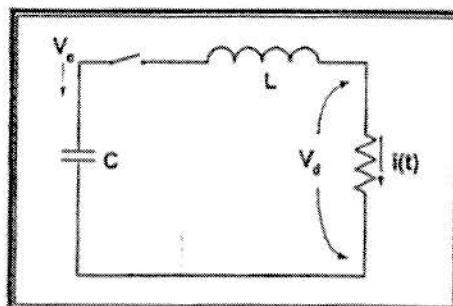
شكل (1b) دائرة LC المعاكسة [3]



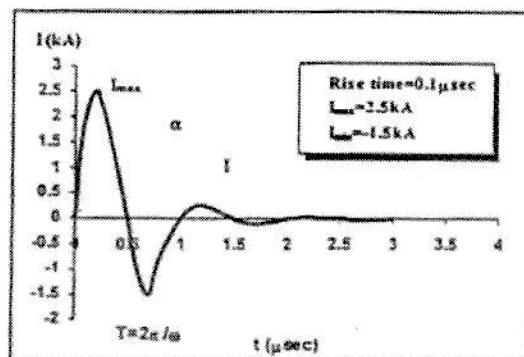
شكل (1c) دائرة LC المعاكسة باستبدال L بالقطب الثنائي الأولي [3]



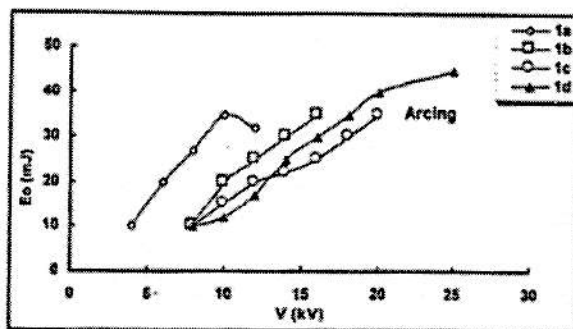
شكل (١d) دائرة مولد ماركس [٣]



شكل (٢) الدائرة المكافئة للتغذية الترددية RLC النوع الأول (1a)

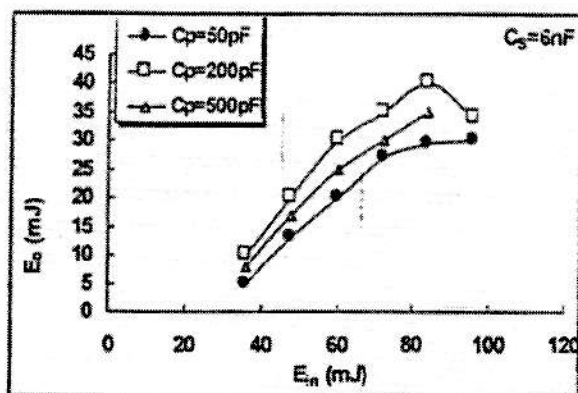


شكل (٣) نموذج تذبذب تيار لامبر لامبر تحت اختبار (Under-damped) المستحصلة



شكل (٤) العلاقة بين مقدار الطاقة الخارجية والفوتيبة المسنطة لكل نوع من الأنواع الأربع من دوائر التحفيز

الشحن



شكل (٥) علاقة الطاقة الخارجية بطاقة الداخلة لقيم مختلفة لمتنعة النرونة (C_p)